

Oscilador armónico cuántico unidimensional en baño térmico usando el algoritmo Metrópolis.

Juan Esteban Aristizabal Zuluaga
Instituto de Física, Universidad de Antioquia.
(Dated: 14 de abril de 2020)

En este artículo presentamos un estudio del oscilador armónico cuántico unidimensional en un baño térmico. En particular, nos interesamos por calcular la probabilidad de encontrar el sistema en una posición dada. Para esto, presentamos los cálculos teóricos cuánticos y su contraparte clásica, con el fin de comparar los resultados. Especialmente nos enfocamos en usar el algoritmo Metrópolis para reconstruir histogramas que representan las distribuciones de probabilidad cuánticas, tanto en el espacio de posiciones como en los niveles de energía. Estos resultados cuánticos los usamos para contrastarlos con los clásicos y los tres casos presentados –baja, media y alta temperatura– concuerdan claramente con los cálculos teóricos. Se presenta también la implementación del algoritmo Metrópolis en el lenguaje de programación «Python».

Palabras clave: Oscilador armónico, física estadística cuántica, baño térmico, ensamble canónico, algoritmo Montecarlo.

I. INTRODUCCIÓN

El oscilador armónico ha sido históricamente para la física un sistema simple pero del que se puede extraer gran cantidad de información y con el que se han descubierto muchos nuevos métodos y hasta teorías completas, basadas en los razonamientos y el conocimiento obtenido de éste. Por citar un ejemplo, está la cuantización del campo electromagnético que se puede reducir a un sistema «osciladores armónicos» no acoplados y en general las teorías de segunda cuantización en la base número usan gran parte del formalismo del oscilador armónico cuántico, aunque con un significado muy diferente al que se le da en el sistema que nos compete[1, 2].

En nuestro caso hemos tomado el oscilador armónico unidimensional inmerso en un baño térmico y hemos estudiado su comportamiento a diferentes temperaturas y contrastado los resultados cuántico y clásico para la probabilidad de encontrarlo en una posición dada. Para ello hemos revisado los resultados teóricos. Entre diferentes alternativas presentadas en la literatura para llegar al resultado cuántico, entre ellas el formalismo de integrales de camino [3, 4], propagadores [5] y métodos más heurísticos como el de Feynman [6], hemos decidido presentar el formalismo desarrollado por Cohen-Tannoudji [7], el cual deriva una ecuación diferencial parcial para encontrar los elementos de matriz diagonales del operador densidad, los cuales corresponden con la probabilidad en la que estamos interesados. El método que presentamos tiene la ventaja de que requiere de cálculos básicos y no de métodos avanzados, que pueden ser un poco más confusos.

Por otro lado, como sabemos, en la física estadística las herramientas computacionales han permitido un mejor entendimiento de diversos problemas. En particular, el algoritmo Metrópolis ha sido ampliamente usado desde que Metropolis *et al.* publicaron el artículo que lo propone [8], en el año 1953, que posteriormente ganó más popularidad con la generalización hecha en 1970 por Hastings [9]. El algoritmo es útil especialmente en problemas

de alta dimensionalidad para muestrear distribuciones de probabilidad en el que otros métodos no son igual de eficientes o simplemente no funcionan –uno de los ejemplos más comunes es la implementación de este algoritmo en sistemas tipo Ising [10]–, aunque en teoría se puede usar para sistemas con cualquier dimensionalidad.

En nuestro caso, a pesar de tener un sistema de baja dimensionalidad, usamos el algoritmo metrópolis para obtener los histogramas de las densidades de probabilidad para el caso cuántico tanto para $T = 0$ como varios valores de $T \neq 0$. Por otro lado, usando el mismo algoritmo, encontramos histogramas para los niveles de energía en cada caso y comprobamos que corresponden con la distribución de Boltzmann *i.e.* la distribución de probabilidad dada por el ensamble canónico de la física estadística.

La estructura del artículo es la siguiente: en la sección II presentamos los resultados teóricos para la densidad de probabilidad cuántica y clásica de encontrar el oscilador armónico unidimensional en una posición dada cuando éste está inmerso en un baño térmico. En la parte III contrastamos los resultados teóricos clásico y cuántico con simulaciones usando el algoritmo Montecarlo para la parte cuántica, para diferentes valores de temperatura. En esta sección también comprobamos los resultados y los límites de alta y baja temperatura que obtuvimos en II. En IV presentamos la conclusión del trabajo y, finalmente, en los apéndices A y B escribimos las implementaciones de los algoritmos de metrópolis usados (en Python3) para generar las figuras y para los análisis de la sección III.

II. CONSIDERACIONES TEÓRICAS

Consideraremos los sistemas en unidades reducidas, es decir, con sus variables adimensionalizadas.

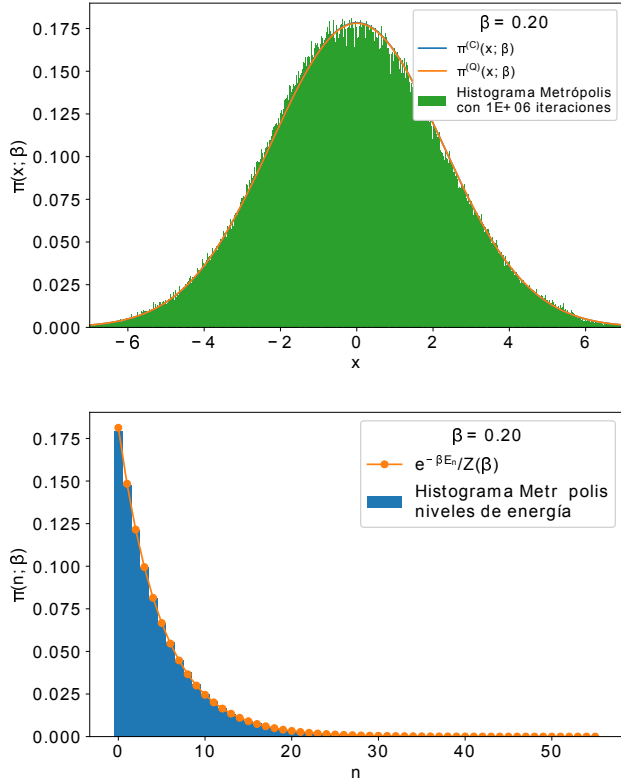


Figura 1. Arriba: densidad de probabilidad de encontrar a la «partícula» cuántica en una posición dada, cuando está en presencia de un potencial armónico y de baño térmico a temperatura definida por $\beta = 1/T = 0.2$. Mostramos los resultados teóricos clásico y cuántico como línea continua y el histograma que resulta del algoritmo Metrópolis usando 10^6 iteraciones y $\delta x = 0.5$. Observamos que éste es un límite de alta temperatura ya que las distribuciones teóricas clásica y cuántica se solapan en gran medida y son muy similares. Abajo: histograma de niveles de energía obtenido con algoritmo Metrópolis y los respectivos valores teóricos. Notamos que muchos niveles de energía contribuyen en este caso que hemos considerado de alta temperatura. Además, los valores calculados por el algoritmo se acercan en gran medida a los teóricos

A. Caso Clásico

B. Caso cuántico

III. RESULTADOS Y DISCUSIÓN

A. Límite de muy baja temperatura $T \rightarrow 0$

B. Temperatura finita $T \neq 0$

Como comentario final de esta sección, es importante también mencionar que los algoritmos se ejecutaron en

Python3 v3.6.

IV. CONCLUSIÓN

En este trabajo estudiamos el problema del oscilador armónico en un baño térmico, tanto de forma clásica como cuántica y con un tratamiento teórico y computacional –éste último en el marco del algoritmo Metrópolis.

Pudimos calcular para el oscilador armónico cuántico en un baño térmico los elementos diagonales del operador densidad en la base de posiciones, $\rho(x, x; \beta)$. Estos elementos diagonales los interpretamos como la densidad de probabilidad de encontrar a la «partícula» en la posición x : $\pi^{(Q)}(x; \beta)$. En el caso clásico calculamos esta probabilidad con ayuda de la función de distribución en el espacio de fase definida por el ensamble canónico. Encontramos que el límite de baja temperatura para el caso clásico es una delta de Dirac centrada en el origen, mientras que en el caso cuántico este límite corresponde con la densidad de probabilidad de la autofunción de energía del estado base del oscilador armónico, conforme se espera. De igual modo pudimos notar que en el límite de altas temperaturas la densidad de probabilidad cuántica mencionada tiende a la clásica, conforme se espera también desde la física estadística.

Para contrastar los resultados teóricos usamos el algoritmo Metrópolis para reconstruir los histogramas del sistema cuántico en el espacio de las posiciones y en los niveles de energía. Para los casos de β evaluados encontramos que uno corresponde a un límite de alta temperatura ya que las distribuciones cuántica y clásica eran muy parecidas, también tenemos un caso intermedio entre alta y baja temperatura y uno de baja temperatura. Esas conclusiones las soportamos tanto en las comparaciones de las curvas teóricas como en los histogramas generados. Siempre los histogramas de los niveles de energía corresponden con el límite que tratamos: altas temperaturas implican contribuciones apreciables de muchos niveles de energía, mientras que para bajas temperaturas contribuyen solo niveles muy próximos al estado base.

Las implementaciones de los algoritmos usados son suficientemente generales y se podrían adaptar con cierta facilidad a otros sistemas de interés que sean objeto de estudio.

AGRADECIMIENTOS

Agradezco a mis compañeros de clase con los que tuve discusiones que ayudaron en la implementación del algoritmo y en las conclusiones presentadas.

-
- [1] G. Grynberg, A. Aspect, and C. Fabre, *Introduction to Quantum Optics: From the Semi-classical Approach to Quantized Light*, 1st ed. (Cambridge University Press, 2010).
- [2] M. D. Schwartz, *Quantum Field Theory and Standard Model*, 1st ed. (Cambridge University Press, 2014) [arXiv:arXiv:1011.1669v3](#).
- [3] F. A. Barone, H. Boschi-Filho, and C. Farina, Three methods for calculating the Feynman propagator, *American Journal of Physics* **71**, 483 (2003), [arXiv:0205085 \[quant-ph\]](#).
- [4] B. R. Holstein, The harmonic oscillator propagator, *American Journal of Physics* **66**, 583 (1998).
- [5] F. Kheirandish, Exact density matrix of an oscillator-bath system: Alternative derivation, *Physics Letters, Section A: General, Atomic and Solid State Physics* **382**, 3339 (2018).
- [6] Richard P. Feynmann, *Statistical Mechanics: a Set of Lectures*, 2nd ed. (THE BENJAMIN/CUMMINGS PUBLISHING COMPANY, INC., 1972) pp. 49–51.
- [7] C. Cohen-Tannoudji, B. Diu, and F. Laloë, *Quantum mechanics* (Wiley, New York, NY, 1977) pp. 628–631.
- [8] N. Metropolis, A. W. Rosenbluth, M. N. Rosenbluth, A. H. Teller, and E. Teller, Equation of state calculations by fast computing machines, *The Journal of Chemical Physics* **21**, 1087 (1953).
- [9] W. K. Hastings, Monte carlo sampling methods using Markov chains and their applications, *Biometrika* **57**, 97 (1970).
- [10] M. E. J. Newman and G. T. Barkema, *Monte Carlo Methods in Statistical Physics*, Oxford University Press, 1 (1999).
- [11] Encyclopedia, *Journal of Chemical Information and Modeling*, Vol. 53 (2019) pp. 1689–1699, [arXiv:arXiv:1011.1669v3](#).
-

Apéndice A: Código 1: Matrix Squaring

```

1  # -*- coding: utf-8 -*-
2  from __future__ import division
3  import numpy as np
4  import matplotlib.pyplot as plt
5  from time import time
6  import pandas as pd
7
8  def rho_free(x, xp, beta):
9      """Uso: devuelve elemento de matriz dsnsidad para el caso de una partícula libre en un toro
10         ↪ infinito."""
11      return (2.*np.pi*beta)**(-0.5) * np.exp(-(x-xp)**2 / (2 * beta) )
12
13 def harmonic_potential(x):
14     """Devuelve valor del potencial armónico para una posición x dada"""
15     return 0.5*x**2
16
17 def anharmonic_potential(x):
18     """Devuelve valor de potencial anarmónico para una posición x dada"""
19     # return np.abs(x)*(1+np.cos(x)) #el resultado de este potencial es interesante
20     return 0.5*x**2 - x**3 + x**4
21
22 def QHO_canonical_ensemble(x, beta):
23     """
24     Uso:      calcula probabilidad teórica cuántica de encontrar al oscilador armónico
25               (inmerso en un baño térmico a temperatura inversa beta) en la posición x.
26
27     Recibe:
28         x: float          -> posición
29         beta: float       -> inverso de temperatura en unidades reducidas beta = 1/T.
30
31     Devuelve:
32         probabilidad teórica cuántica en posición x para temperatura inversa beta.
33     """

```

```

33     return (np.tanh(beta/2.)/np.pi)**0.5 * np.exp(- x**2 * np.tanh(beta/2.))
34
35 def rho_trotter(x_max = 5., nx = 101, beta=1, potential=harmonic_potential):
36     """
37     Uso:     devuelve matriz densidad en aproximación de Trotter para altas temperaturas
38              y bajo influencia del potencial "potential".
39
40     Recibe:
41         x_max: float    -> los valores de x estarán en el intervalo (-x_max,x_max).
42         nx: int         -> número de valores de x considerados (igualmente espaciados).
43         beta: float     -> inverso de temperatura en unidades reducidas.
44         potential: func -> potencial de interacción. Debe ser función de x.
45
46     Devuelve:
47         rho: numpy array, shape=(nx,nx)    -> matriz densidad en aproximación de Trotter para
48                                              altas temperaturas y potencial dado.
49         grid_x: numpy array, shape=(nx,)    -> valores de x en los que está evaluada rho.
50         dx: float                          -> separación entre valores contiguos de grid_x
51     """
52     # Valor de la discretización de posiciones según x_max y nx dados como input
53     dx = 2. * x_max / (nx - 1)
54     # Lista de valores de x teniendo en cuenta discretización y x_max
55     grid_x = np.array([i*dx for i in range(-int((nx-1)/2), int(nx/2 + 1))])
56     # Construcción de matriz densidad dada por aproximación de Trotter
57     rho = np.array([ [ rho_free(x , xp, beta) * np.exp(-0.5*beta*(potential(x)+potential(xp)))
58                      ↪ for x in grid_x] for xp in grid_x])
59     return rho, grid_x, dx
60
61 def density_matrix_squaring(rho, grid_x, N_iter = 1, beta_ini = 1, print_steps=True):
62     """
63     Uso:     devuelve matriz densidad luego de aplicarle algoritmo matrix squaring N_iter veces.
64              En la primera iteración se usa matriz de densidad dada por el input rho (a
65              temperatura inversa beta_ini); en las siguientes iteraciones se usa matriz densidad
66              generada por la iteración inmediatamente anterior. El sistema asociado a la matriz
67              densidad obtenida (al final de aplicar el algoritmo) está a temperatura inversa
68              beta_fin = beta_ini * 2**(N_iter).
69
70     Recibe:
71         rho: numpy array, shape=(nx,nx)    -> matriz densidad discretizada en valores dados
72                                              por x_grid.
73         grid_x: numpy array, shape=(nx,)    -> valores de x en los que está evaluada rho.
74         N_iter: int                         -> número de iteraciones del algoritmo.
75         beta_ini: float                    -> valor de inverso de temperatura asociado a la
76                                              matriz densidad rho dada como input.
77         print_steps: bool                  -> decide si muestra valores de beta en cada
78                                              iteración.
79
80     Devuelve:
81         rho: numpy array, shape=(nx,nx)    -> matriz densidad de estado rho a temperatura
82                                              inversa igual a beta_fin.
83         trace_rho: float                    -> traza de la matriz densidad a temperatura
84                                              ↪ inversa
85                                              igual a beta_fin. Por la definición que tomamos
86                                              de rho, ésta es equivalente a la función
87                                              partición a dicha temperatura.
88         beta_fin: float                    -> temperatura inversa del sistema asociado a rho.
89     """
90     # Valor de discretización de las posiciones

```

```

89 dx = grid_x[1] - grid_x[0]
90 # Cálculo del valor de beta_fin según valores beta_ini y N_iter dados como input
91 beta_fin = beta_ini * 2 ** N_iter
92 # Imprime información relevante
93 print('\nbeta_ini = %.3f'%beta_ini,
94       '\n-----')
95 # Itera algoritmo matrix squaring
96 for i in range(N_iter):
97     rho = dx * np.dot(rho,rho)
98     # Imprime información relevante
99     if print_steps==True:
100         print(u'Iteración %d)  2^%d * beta_ini --> 2^%d * beta_ini'%(i, i, i+1))
101 # Calcula traza de rho
102 trace_rho = np.trace(rho)*dx
103 return rho, trace_rho, beta_fin
104
105 def save_pi_x_csv(grid_x, x_weights, file_name, relevant_info, print_data=True):
106     """
107     Uso: guarda datos de la distribución de probabilidad pi(x;beta) en un archivo .csv
108
109     Recibe:
110         grid_x: numpy array, shape=(nx,)    -> valores de x en los que está evaluada
111         pi(x;beta).
112         x_weights: numpy array, shape=(nx,) -> valores de pi(x;beta) para cada x en grid_x
113         file_name: str                       -> nombre del archivo en el que se guardarán datos.
114         relevant_info: str                   -> información que se agrega como comentario en
115                                             primera línea.
116         print_data: bool                     -> decide si imprime datos guardados, en pantalla.
117
118     Devuelve:
119         pi_x_data: pd.DataFrame              -> valores de pi(x;beta) para x en grid_x en
120         formato
121                                             "pandas".
122     """
123     # Almacena datos de probabilidad en diccionario: grid_x para posiciones y x_weights para
124     # valores de densidad de probabilidad.
125     pi_x_data = {'Position x': grid_x,
126                  'Prob. density': x_weights}
127     # Pasamos datos a formato DataFrame de pandas.
128     pi_x_data = pd.DataFrame(data=pi_x_data)
129     # Crea archivo .csv y agrega comentarios relevantes dados como input
130     with open(file_name,mode='w') as rho_csv:
131         rho_csv.write(relevant_info+'\n')
132     rho_csv.close()
133     # Usamos pandas para escribir en archivo en formato csv.
134     with open(file_name,mode='a') as rho_csv:
135         pi_x_data.to_csv(rho_csv)
136     rho_csv.close()
137     # Imprime en pantalla datos de posiciones y probabilidades.
138     if print_data==True:
139         print(pi_x_data)
140     return pi_x_data
141
142 def run_pi_x_sq_trotter(x_max=5., nx=201, N_iter=7, beta_fin=4, potential=harmonic_potential,
143                        potential_string = 'harmonic_potential', print_steps=True,
144                        save_data=True, plot=True, save_plot=True, show_plot=True):
145     """
146     Uso: corre algoritmo matrix squaring iterativamente (N_iter veces). En la primera

```

iteración se usa una matriz densidad en aproximación de Trotter a temperatura inversa $\beta_{ini} = \beta_{fin} * 2^{*(-N_{iter})}$ para potencial dado por potential ; en las siguientes iteraciones se usa matriz densidad generada por la iteración inmediatamente anterior. Además ésta función guarda datos de $\pi(x;\beta)$ vs. x en archivo de texto y grafica $\pi(x;\beta)$ comparándolo con teoría para el oscilador armónico cuántico.

Recibe:

x_{max} : float \rightarrow los valores de x estarán en el intervalo $(-x_{max}, x_{max})$.
 nx : int \rightarrow número de valores de x considerados.
 N_{iter} : int \rightarrow número de iteraciones del algoritmo matrix squaring.
 β_{ini} : float \rightarrow valor de inverso de temperatura que queremos tener al final de aplicar el algoritmo matrix squaring iterativamente.
 potential : func \rightarrow potencial de interacción usado en aproximación de trotter. Debe ser función de x .
 potential_string : str \rightarrow nombre del potencial (con éste nombramos los archivos que se generan).
 print_steps : bool \rightarrow decide si imprime los pasos del algoritmo matrix squaring.
 save_data : bool \rightarrow decide si guarda los datos en archivo .csv.
 plot : bool \rightarrow decide si grafica.
 save_plot : bool \rightarrow decide si guarda la figura.
 show_plot : bool \rightarrow decide si muestra la figura en pantalla.

Devuelve:

ρ : numpy array, shape=(nx, nx) \rightarrow matriz densidad de estado ρ a temperatura inversa igual a β_{fin} .

trace_rho : float \rightarrow traza de la matriz densidad a temperatura

\hookrightarrow inversa
 igual a β_{fin} . Por la definición que tomamos de " ρ ", ésta es equivalente a la función partición en dicha temperatura.

grid_x : numpy array, shape=(nx ,) \rightarrow valores de x en los que está evaluada ρ .

"""
 # Cálculo del valor de β_{ini} según valores β_{fin} y N_{iter} dados como input

$\beta_{ini} = \beta_{fin} * 2^{*(-N_{iter})}$

Cálculo de ρ con aproximación de Trotter

$\rho, \text{grid_x}, dx = \text{rho_trotter}(x_{max}, nx, \beta_{ini}, \text{potential})$

Aproximación de ρ con matrix squaring iterado N_{iter} veces.

$\rho, \text{trace_rho}, \beta_{fin_2} = \text{density_matrix_squaring}(\rho, \text{grid_x}, N_{iter},$

$\beta_{ini}, \text{print_steps})$

$\text{print}(\text{'-----}\backslash\text{n' + } \backslash$

$\text{u'beta_fin = %.3f \quad Z(beta_fin) = Tr}(\rho(\beta_{fin})) = \%.3E \backslash\text{n'}$ $(\beta_{fin_2}, \text{trace_rho})$)

Normalización de ρ a 1 y cálculo de densidades de probabilidad para valores en grid_x .

$\rho_{normalized} = \text{np.copy}(\rho) / \text{trace_rho}$

$\text{x_weights} = \text{np.diag}(\rho_{normalized})$

Guarda datos en archivo .csv.

if $\text{save_data} == \text{True}$:

Nombre del archivo .csv en el que guardamos valores de $\pi(x;\beta_{fin})$.

$\text{file_name} = \text{u'pi_x-}\%s\text{-}x_{max}\%.3f\text{-}nx\%d\text{-}N_{iter}\%d\text{-}\beta_{fin}\%.3f\text{.csv'}$ \backslash

$\%(\text{potential_string}, x_{max}, nx, N_{iter}, \beta_{fin})$

Información relevante para agregar como comentario al archivo csv.

$\text{relevant_info} = \text{u'\# } \%s \quad x_{max} = \%.3f \quad nx = \%d \quad '\%(\text{potential_string}, x_{max}, nx) + \backslash$

$\text{u'N_iter} = \%d \quad \beta_{ini} = \%.3f \quad '\%(N_{iter}, \beta_{ini},) + \backslash$

$\text{u'beta_fin} = \%.3f'\% \beta_{fin}$

Guardamos valores de $\pi(x;\beta_{fin})$ en archivo csv.

$\text{pi_x_data} = \text{save_pi_x_csv}(\text{grid_x}, \text{x_weights}, \text{file_name}, \text{relevant_info}, \text{print_data}=0)$

Gráfica y comparación con teoría

if $\text{plot} == \text{True}$:

```

202 plt.figure(figsize=(8,5))
203 plt.plot(grid_x, x_weights, label = 'Matrix squaring +\nfórmula de Trotter.\n$N=%d$
↪ iteraciones\n$dx=%.3E$'%(N_iter,dx))
204 plt.plot(grid_x, QHO_canonical_ensemble(grid_x,beta_fin), label=u'Valor teórico QHO')
205 plt.xlabel(u'x')
206 plt.ylabel(u'$\pi^{\{Q\}}(x;\backslash\backslash\beta)$')
207 plt.legend(loc='best',title=u'$\backslash\backslash\beta=%.2f$'%beta_fin)
208 plt.tight_layout()
209 if save_plot==True:
210     plot_name = u'pi_x-plot-%s-x_max_%.3f-nx_%d-N_iter_%d-beta_fin_%.3f.eps'\
211                 %(potential_string,x_max,nx,N_iter,beta_fin)
212     plt.savefig(plot_name)
213 if show_plot==True:
214     plt.show()
215 plt.close()
216 return rho, trace_rho, grid_x
217
218 # Agranda letra en texto de figuras generadas
219 plt.rcParams.update({'font.size':15})
220 # Corre el algoritmo
221 rho, trace_rho, grid_x = run_pi_x_sq_trotter( potential = harmonic_potential,
222                                               potential_string = 'harmonic_potential',
223                                               save_data=True, save_plot=True, show_plot=True)

```

Apéndice B: Código 2: Naive Path Integral Montecarlo Sampling
